

面向 Linux 的内核级代码复用攻击检测技术*

陈志锋^{1,2}, 李清宝^{1,2}, 张平^{1,2}, 王烨^{1,2}



¹(解放军信息工程大学, 河南 郑州 450001)

²(数学工程与先进计算国家重点实验室, 河南 郑州 450001)

通讯作者: 陈志锋, E-mail: xiaohouzi06@163.com

摘要: 近年来,代码复用攻击与防御成为安全领域研究的热点.内核级代码复用攻击使用内核自身代码绕过传统的防御机制.现有的代码复用攻击检测与防御方法多面向应用层代码复用攻击,忽略了内核级代码复用攻击.为有效检测内核级代码复用攻击,提出了一种基于细粒度控制流完整性(CFI)的检测方法.首先根据代码复用攻击原理和正常程序控制流构建 CFI 约束规则,然后提出了基于状态机和 CFI 约束规则的检测模型.在此基础上,基于编译器,辅助实现 CFI 标签指令插桩,并在 Hypervisor 中实现 CFI 约束规则验证,提高了检测方法的安全性.实验结果表明,该方法能够有效检测内核级代码复用攻击,并且性能开销不超过 60%.

关键词: 代码复用攻击;内核;控制流完整性;插桩;约束规则

中图法分类号: TP311

中文引用格式: 陈志锋,李清宝,张平,王烨.面向 Linux 的内核级代码复用攻击检测技术.软件学报,2017,28(7):1732-1745.
http://www.jos.org.cn/1000-9825/5058.htm

英文引用格式: Chen ZF, Li QB, Zhang P, Wang Y. Kernel code reuse attack detection technique for Linux. Ruan Jian Xue Bao/Journal of Software, 2017, 28(7): 1732-1745 (in Chinese). http://www.jos.org.cn/1000-9825/5058.htm

Kernel Code Reuse Attack Detection Technique for Linux

CHEN Zhi-Feng^{1,2}, LI Qing-Bao^{1,2}, ZHANG Ping^{1,2}, WANG Ye^{1,2}

¹(PLA Information Engineering University, Zhengzhou 450001, China)

²(State Key Laboratory of Mathematical Engineering and Advanced Computing, Zhengzhou 450001, China)

Abstract: Recently, code reuse attack and defensive techniques have been a hot area in security research. Kernel-Level code reuse attacks use kernel code to bypass traditional defensive mechanisms. Existing code reuse attacks detection and defensive methods mainly focus on user-level code reuse attacks, ignoring kernel-level code reuse attacks. In order to detect kernel-level code reuse attacks effectively, a detection method based on fine-grained control flow integrity (CFI) is proposed. Firstly, CFI constraint rules are constructed according to the code reuse attack principles and the control flows of normal programs. Then, a detection model based on state machine and CFI constraint rules is developed. Next, CFI label checking instructions are instrumented based on GCC-plugin. Furthermore, CFI constraint rules are verified on Hypervisor, boosting the security of the method. The experiment results show that this method can effectively detect kernel-level code reuse attacks, and performance evaluations indicate that performance penalty induced by this method is less than 60%.

Key words: code reuse attack; kernel; control flow integrity; instrumentation; constraint rule

* 基金项目: “核高基”国家科技重大专项(2013JH00103); 国家高技术研究发展计划(863)(2009AA01Z434)

Foundation item: National Science and Technology Major Project of China (2013JH00103); National High Technology Research and Development Program of China (2009AA01Z434)

收稿时间: 2015-09-20; 修改时间: 2015-12-31; 采用时间: 2016-03-08; jos 在线出版时间: 2016-05-03

CNKI 网络优先出版: 2016-05-04 08:44:12, http://www.cnki.net/kcms/detail/11.2560.TP.20160504.0844.006.html

1 引言

近年来,随着各种防御机制的出现,如 DEP(data execution protection,数据执行保护)^[1]、SSP(stack smashing protection,栈溢出保护)^[2]等,传统的代码注入攻击得到了较好的检测和遏制。为了绕过现有的防御机制,攻击者提出了代码复用攻击(code reuse attacks,简称 CRA),如 return-to-libc^[3]、ROP(return-oriented programming)^[4-7]、JOP(jump-oriented programming)^[8-10]和 SROP(sigreturn oriented programming)^[11]等。代码复用攻击是一种新型的攻击技术,复用系统中已存在的代码无需从外部向系统注入代码,使得 DEP 机制失效。代码复用攻击不仅面向系统库、应用层程序,也面向操作系统内核^[6,10,12]。内核层的代码复用攻击更具威胁,破坏性更大。

为了有效检测和防御代码复用攻击,研究人员提出了若干方法和技术,可分为 3 类:随机化方法、基于编译的方法和基于插桩的方法。

ASLR(address space layout randomization)^[13]是随机化方法的代表,它通过随机化代码段的基地址阻止 ROP 攻击。但是研究表明,攻击者利用暴力破解^[14]和信息泄露攻击^[15]可以绕过 ASLR。此外,一些库和应用,甚至某些操作系统内核并没有使用 ASLR,这使得攻击者能够轻易找到有用的 gadgets 而实现代码复用攻击。为此,研究人员提出了细粒度的随机化方法,以进一步提高程序的多样性,限制内存泄露的有效性。Pappas 等人^[16]提出 in-place 代码随机化技术,通过指令重排列、等价指令替换和寄存器重赋值阻止 ROP 攻击。然而,最近的研究^[17]表明,系统中存在的漏洞允许攻击者读取任意位置的内存而绕过细粒度的随机化方法。

ROP 代码的执行破坏了正常程序的执行路径,导致了异常的控制流转移。CFLocking^[18]通过程序重编译限制控制流转移异常的数目,以阻止 CRA。但是该技术并不能防御采用未对齐指令构成 gadgets 的 ROP 攻击。Return-less kernel^[19]是一种基于编译器的方法。该方法将控制数据放置到专用的缓冲区而不是栈中来移除内核镜像中的 ret 操作码。显然,该技术只能防御基于 ret 指令的内核级 ROP 攻击。Tian 等人^[20]借鉴该观点,提出了基于虚拟化的方法。同样地,该方法并不能防御使用 jump/call 指令的内核级 ROP 攻击。G-free^[21]也是基于编译器的方法,它通过代码重写技术消除所有未对齐的间接分支指令,并保护对齐的间接分支指令来防止它们被误用。然而 G-free 插入的代码可能引入新的 gadgets,这可能被攻击者所利用。

ROPDefender^[22]和 DROP^[23]使用代码插桩技术将检查代码插入到二进制代码中来检测 ROP 攻击。这类方法不仅需要破坏二进制文件的完整性,而且存在较大的性能损失。例如,DROP 的性能开销为 1.9X 到 21X^[23]。此外,ROPDefender 和 DROP 只关注基于 ret 的 ROP,而没有处理所有类型的 ROP 攻击。为了解决出现较高性能损失的问题,ROPGuard^[24]和 KBouncer^[25]只是在选择的关键函数,如 Windows API 插入检查点。尽管较少频次检查算法的调用,使得性能开销较小,但是不可避免地漏报一些不使用这些路径的 ROP 攻击。ROPGuard 只关注非 JOP 的代码,KBouncer 完全依赖于并不充分的 LBR 记录,而 LBR 记录在上下文切换时会产生记录溢出或者污染记录。ROPecker^[26]扩展了 KBouncer 的工作,不仅检查当前 LBR 中的记录,而且将后续的记录结合起来,克服了 KBouncer 的漏报问题,同时提出滑动窗口机制平衡准确率和性能问题。但是文献[27-29]提出了绕过 KBouncer 和 ROPecker 的攻击方法,这是由于,这两种方法采用的是粗粒度的控制流完整性(control flow integrity,简称 CFI)约束^[30]。KCoFI^[31]是第一个将 CFI 思想应用到内核中的系统,它基于 SVA(secure virtual architecture,安全虚拟架构)实现 CFI 插桩和运行时检查,能够有效限制间接控制转移指令的非法转移,然而由于采用的是上下文无关的 CFI 策略,存在攻击的可能性。

此外,Kayaalp 等人^[32]基于硬件辅助的异常特征检测方法检测 JOP 攻击。Davi 等人^[33,34]也提出了基于硬件辅助的 CFI 实现对嵌入式系统的 CRA 检测。HDROP^[35]则是基于性能监控计数器(performance monitoring counter,简称 PMC)和编译插桩实现以 ret 指令结尾的 kernel ROP 检测,但其无法检测其他类型的内核代码复用攻击。

由此可见,当前的检测方法关注的重点仍是应用层的代码复用攻击,针对内核级代码复用攻击的检测工具较少。然而,内核级代码复用攻击不容忽视,文献[26,35,36]均指出检测内核级代码复用攻击是他们未来的研究工作。因此,为了有效地检测内核级代码复用攻击,本文借鉴 CFI 的思想^[31]和文献[26,33]的检测思路,提出了一种基于细粒度 CFI 的内核级代码复用攻击检测方法(CFI-based kernel code reuse attack detection method,简称

CFI-KCraD)对与控制流相关的 call、ret 和 indirect jump 指令,提出 CFI 约束规则,引入 CFI 标签指令.不同于传统的 CFI 标签,本文引入标签状态属性验证控制流转移指令执行的合法性,并且 CFI 检测并不是在内核代码中进行,而是在 Hypervisor 中.首先根据 CFI 约束规则确定函数粒度的 CFI 标签指令的插入位置.然后在 CFI 标签指令执行时,根据标签编号和状态属性验证 call、ret 和 indirect jump 指令使用的合法性.在现有软硬件条件下采用基于 Intel VT^[37]的虚拟机检测架构,使用 vmcall 指令作为标签指令,既解决了控制流转移指令的监控问题,又解决了标签信息的收集问题,同时将检测程序放置于 Hypervisor 中,提高了检测程序的安全性.

2 检测架构

若将内核代码复用攻击检测程序放置于内核中,那么一旦内核遭受破坏,就有可能被攻击者禁用,从而被绕过.因此,为了有效地检测内核代码的复用攻击,我们引入虚拟机架构,将检测程序放置于 Hypervisor 中,降低了攻击者绕过检测程序的可能性.检测架构如图 1 所示.

从图 1 可知,系统架构由两大部分组成,对应于检测方法的两个阶段,离线分析阶段 offline phase 和在线检测阶段 runtime phase.离线分析阶段通过分析和重编译内核实现标签指令的插桩,包括空指令插入模块 nop instruction insert module 和标签指令插入模块 label instruction insert module.在线检测阶段在运行时监控 call、ret 和 jump 指令,根据 CFI 约束规则检测内核代码复用攻击.其中,指令类型判断由标签指令分析模块 label instruction analysis module 完成,CFI 约束规则分析由标签指令处理模块 label instruction dealing module 完成.标签指令分析模块根据标签指令的参数判断此刻被监控的指令类型,然后再根据指令类型调用相应的标签处理模块进行处理.标签处理模块根据 CFI 约束规则判断被监控的指令是否满足约束规则,根据结果返回不同的状态.

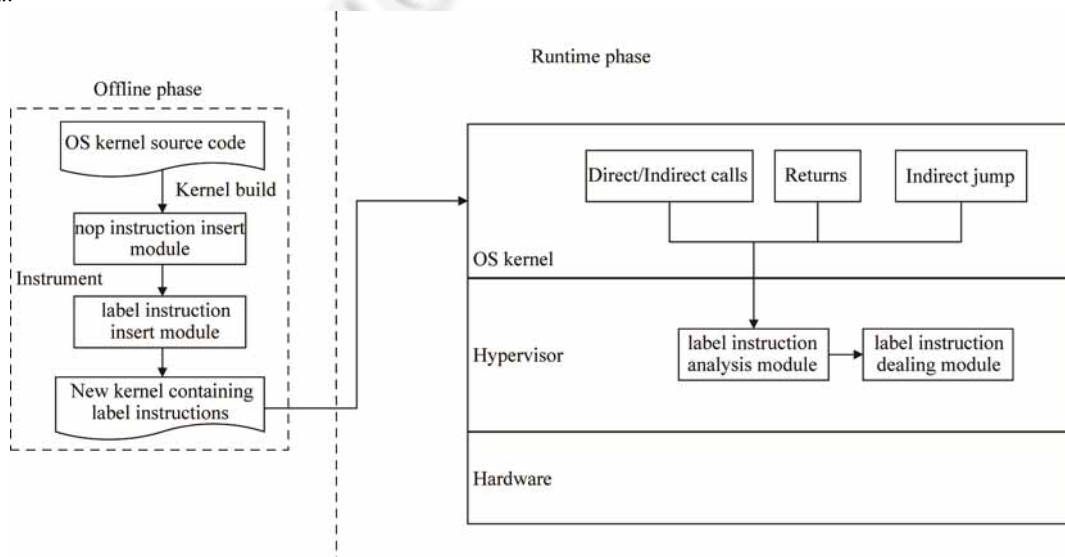


Fig.1 System architecture of CFI-KCraD

图 1 CFI-KCraD 系统架构

2.1 CFI 约束和标签指令

与控制流相关的指令包括 3 种,call、jmp 和 ret 指令.call 指令用于将控制流转移到另外一个函数;jmp 指令(条件和无条件)一般用于将控制流转移到同一函数内的另一个位置;ret 指令用于将控制流转回到调用函数.

控制转移指令又可分为静态控制转移指令和动态控制转移指令.静态控制转移指令的目标地址直接硬编码到指令自身中;动态控制转移地址,即间接控制转移指令,间接地通过寄存器或者内存地址实现控制转移.代码复用攻击就是误用间接控制转移指令构造控制流劫持攻击,如图 2 所示.图中 2,黑色实线表示正常的内核执

行的控制流转移,虚线表示 ROP 攻击的控制流转移过程.

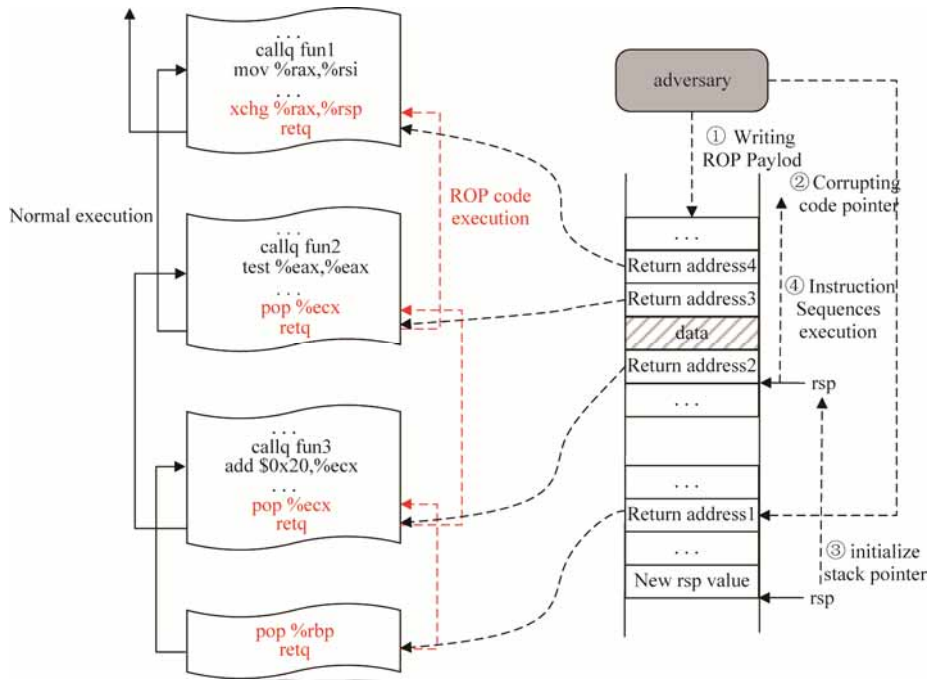


Fig.2 ROP attack example
图 2 ROP 攻击示例

通过分析内核源码和内核级代码复用攻击样例,控制流合法转移规则即 CFI 约束规则约定如下.

(1) call 指令必须总是指向一个合法的内核函数入口.这里需要说明的是,由于存在可加载内核模块 (loadable kernel module,简称 LKM),除了考虑符号表中的内核函数之外,还需要考虑 LKM 导出和导入的函数信息.例如,模块 A 调用内核的某个函数 F,但 F 未被内核导出,尽管 A 的 call 指令指向的是一个合法的内核函数,这也是不允许的.

(2) ret 指令必须总是将控制转回原来的 caller.由于存在编译器优化,使得 ret 指令返回的可能是 call 若干指令之后的指令,所以本文中通过对编译器的控制使得 ret 指令执行后返回 call 指令的下一条指令.

(3) indirect jump 指令的合法目标包含两种情况: 在同一个函数内的指令,一般由循环或者条件分支产生转移; 另一个合法函数的入口,面向尾部调用优化的情况.

为了实现上述规则规定的控制流转移合法性验证,引入了控制流完整性标签指令 vmcall(0,label)和 vmcall(1,label),分别用于验证 call 指令和 ret 指令转移目标的合法性.其中,0 和 1 是为了区分待验证指令引入的参数,在 Hypervisor 中对应不同的处理功能,它们通过寄存器传递到 Hypervisor 中;label 是标签编号,也通过寄存器传递到 Hypervisor 中.那么,根据 CFI 约束规则,vmcall(0,label)指令位于每个函数的入口处,验证 call 指令是否指向函数入口且验证该函数是否为 imported 函数;vmcall(1,label)位于 call 指令之后,验证 ret 指令执行之后是否返回到 caller 执行 vmcall(1,label)指令.由于 indirect jump 指令可以转移到函数内的任何位置,该位置只有在运行时才能确定,故无法在其目标地址处加入标签指令.为此,引入 vmcall(3,address)指令验证 indirect jump 的目标地址 address 是否符合 CFI 约束规则.该指令位于 indirect jump 指令之前.

标签除了具备编号之外,还具备状态属性,包括激活状态和未激活状态.若标签处于激活状态,说明 vmcall(0,label)得到执行,即从某个函数入口开始执行,且未执行到函数出口.若标签处于未激活状态,说明函数未被执行或者已执行完毕.vmcall(0,label)实现了标签状态激活,同时将标签存入标签存储区.与之对应地,需要

取消标签激活状态的指令,故引入另外一条标签指令 vmcall(2,label),该指令在取消标签激活状态的同时将该标签从标签存储区中删除.vmcall(1,label)用于验证标签激活状态.标签的存储方式与栈的存储方式类似.

2.2 基于状态机的检测过程

根据 CFI 约束规则和标签指令,可将检测过程抽象为一个状态机模型 $M=(S,I,O,S_0,f,\lambda,F)$,其中,

$S=\{S_0,S_1,S_2,S_3,S_4\}$ 为该模型的所有状态;

$I=\{\text{call address,ret address,jump address,activated label,inactivated label}\}$ 为输入元素集合,其中,前 3 个输入元素为待监控指令的目标地址,后两个输入元素为标签状态属性;

$O=\{\text{to be judged,valid,invalid}\}$ 为输出元素集合,即代码复用攻击检测输出结果,其中,invalid 输出表明内核遭受代码复用攻击,to be judged 表明进入决策状态,valid 表明间接转移指令使用合法;

S_0 为初始状态, $S_0 \in S$;

f 为状态转移函数, $f:S \times I \rightarrow S$;

λ 为输出函数, $\lambda:S \times I \rightarrow O$;

F 为终止状态集合,由于本模型只考虑主机系统运行过程中的状态,不考虑异常导致主机进入死机或者关机状态,故 $F=\{S_4\}$.

进一步地, S_0 表示内核正常执行状态; S_1 表示 call 指令验证状态; S_2 表示 ret 指令验证状态; S_3 表示 indirect jump 指令验证状态; S_4 表示系统遭受攻击状态.模型 M 对应的状态转移过程如图 3 所示.检测思路主要根据 CFI 标签的激活状态属性判断 call 和 ret 指令使用是否符合 CFI 约定,并根据间接 jump 指令的目标地址判断 indirect jump 指令的使用是否合法等两个方面来进行的.

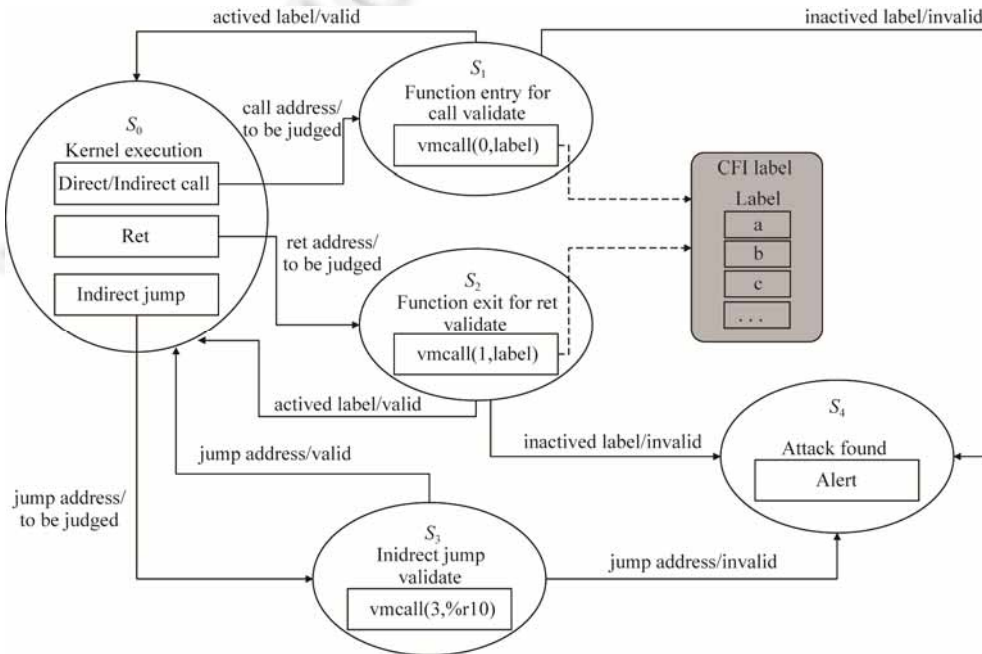


Fig.3 A detection model based on state machine

图 3 基于状态机的检测模型

检测过程如下:

(1) 当有 call 执行时,状态机从 S_0 进入 S_1 ,在 S_1 判断是否执行标签指令 vmcall(0,label).若有,激活 label,然后状态机从 S_1 返回 S_0 ,内核正常运行;否则,在 ret 返回时产生异常取消标签 label 的激活状态事件,状态机从 S_1 进

入 S_4 ,产生警告,报告内核遭受攻击.

(2) 当有 ret 执行时,状态机从 S_0 进入 S_2 ,在 S_2 判断是否执行标签指令 vmcall(1,label).若有,验证 label 的激活状态,若 label 处于激活状态,并且待验证的 lable 位于标签存储空间的顶端,则状态机从 S_2 返回 S_0 ,内核正常运行;否则,状态从 S_2 进入 S_4 ,产生警告,报告内核遭受攻击.

(3) 在 indirect jump 指令执行前,状态机从 S_0 进入 S_3 ,在 S_3 判断 indirect jump 的目标地址 address 是否符合 CFI 约束规则(3).若违背,状态机从 S_0 进入 S_4 ,产生警告,报告内核遭受攻击;否则,状态从 S_3 返回 S_0 ,内核正常运行.

3 基于编译器插桩的标签指令生成和 CFI 验证

3.1 call 指令目标合法性验证和插桩

根据 call 指令的 CFI 约束,call 指令只能指向一个函数的合法入口.上文指出,使用 vmcall(0,label)作为标签指令,其位于每个函数的入口.vmcall(0,label)指令陷入 Hypervisor 后激活标签 label 的状态,表明 call 指令指向函数入口.该指令执行后陷入 Hypervisor,状态从 S_1 回到 S_0 ,内核继续执行.由于在函数入口激活标签,那么需要在函数返回时将之前激活的标签转为未激活,故在 ret 指令之前使用 vmcall(2,label)用于取消标签 label 的激活状态.若存在 call 指令执行时未进入函数入口执行 vmcall(0,label),那么在其返回时将导致标签状态处理产生异常,从而进入状态 S_4 .该机制确保了间接 call 指令必须指向函数的入口,从而阻止 call 指令非法指向函数的中间位置,如图 4 所示.

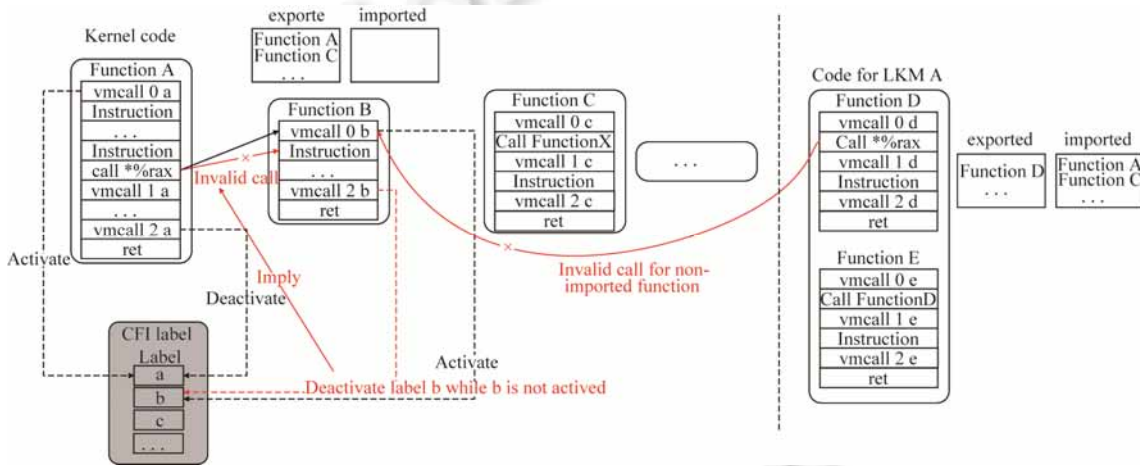


Fig.4 CFI policy for valid function call instruction verification

图 4 基于 CFI 策略的 call 指令使用合法性验证

从图 4 中可知,Kernel code 的 Function A 在执行 callq *%rax 时,如果攻击者篡改了 rax 寄存器的值使得 call 指令指向 Function B 的内部位置,而不是指向函数入口 vmcall(0,b),那么在 Function B 返回前执行 vmcall(2,b) 指令处理标签 b 的状态时将产生异常(b 未被激活却要取消 b 的激活状态),从而报告 call 指令的非法使用.然而,如果在 vmcall(0,b)和 vmcall(2,b)之间还有间接 call 指令,那么我们需要分两种情况进行讨论.一种是间接 call 指令是合法的情况,即 rax 寄存器所指的内存值是合法的,那么在该指令执行之后跳转到某个函数然后正常返回到 Function B 中该指令的下一条指令,并且在后续通过执行 vmcall(2,b)发现 Function A 中的 Invalid call;另外一种情况是间接 call 指令非法的情况,即 rax 寄存器所指的内存值被篡改,那么该指令的合法性验证将先于 Function A 中的间接 call 指令,其非法性可能在某函数 Function x 由 vmcall(2,x)检测,从而报告代码复用攻击(由于无限执行间接 call 指令将导致内核无法提供服务,不存在这种情况,所以在连续若干个间接 call 指令执行的情

况下,最后一个间接 call 指令将最先被验证,然后再验证前一个间接 call 指令,以此类推,直至验证到第 1 个间接 call 指令.故最终可以验证 Function A 中间接 call 指令的合法性),尽管这种情况可能没有直接通过 Function A 中的 Invalid call 报告代码复用攻击,但是按照该思路继续分析,最终也可以发现 Function A 的 Invalid call.另外,若 LKM A 的 Function D 执行 call *%rax 时指向 Function B,尽管其指向 Function B 的入口位置,但是由于 Function B 并未在模块 A 的导入表中,故报告 call 指令的非法使用.

因此,call 插桩需要在每个函数的入口位置插入 vmcall(0,a)标签指令以验证 call 指令进入位置的正确性,其中 a 为标签编号.

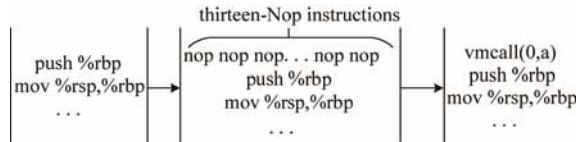


Fig.5 CFI table instruction instrumentation process based on GCC

图 5 基于 GCC 的 CFI 标签指令插桩过程

根据 Intel 开发手册^[37],vmcall 指令的操作码为 0F 01 C1,占用 3 个字节,第 1 个输入参数 0 通过寄存器传递,占用 5 个字节,第 2 个输入参数标签 a 也通过寄存器传递,占用 5 个字节,共需要 13 个字节.那么在函数入口插入标签指令 vmcall(0,a)的具体过程如图 5 所示.

根据图 5 可知,标签指令插入过程包括两个阶段.第 1 个阶段在函数入口处插入 13 个 nop 指令,第 2 个阶段重写 13 个 nop 指令为标签指令对

应的二进制码,比如 vmcall(0,4)对应的二进制码为 b8 00 00 00 00 ba 04 00 00 00 0f 01 c1.

第 1 阶段中 nop 指令的插入采用基于重编译 recompiling 的方法.内核编译采用的是 gcc 编译器,本文通过扩展 gcc 实现标签指令的插桩.gcc 编译器内部结构如图 6 所示,整个编译过程包含 3 个重要的转换过程:待编译的源代码→gcc 抽象语法树(abstract syntax tree,简称 AST)→RTL(register transfer language,寄存器转移语言)表达式→汇编代码.为了实现在函数入口处插入 nop 指令,我们选择在第 2 个转换中扩展 gcc 的功能.首先生成 13 个 nop 指令的 RTL 表示,然后将其插入到 RTL 链中.那么,当 RTL 链转换为汇编代码时,就会将 nop 指令插入到内核映像中.

第 2 阶段是重写插入的 nop 指令为标签指令.首先寻找需要重写的 13 个 nop 指令的地址.由于内核中可能存在连续的 nop 指令,所以不能够直接通过查找连续的 13 个 nop 指令来确定需要重写的 nop 指令地址.这里,我们通过反汇编重编译的内核,根据汇编代码获取每个函数的头部位置(节偏移+函数地址偏移)即为需要重写的地址.然后将标签指令对应的二进制代码依次替换 nop 指令即可.为方便标签指令中标签的编号,我们采用顺序编号,即从头扫描内核映像,每扫到 1 个函数编号 1 次,每编号 1 次编号加 1.

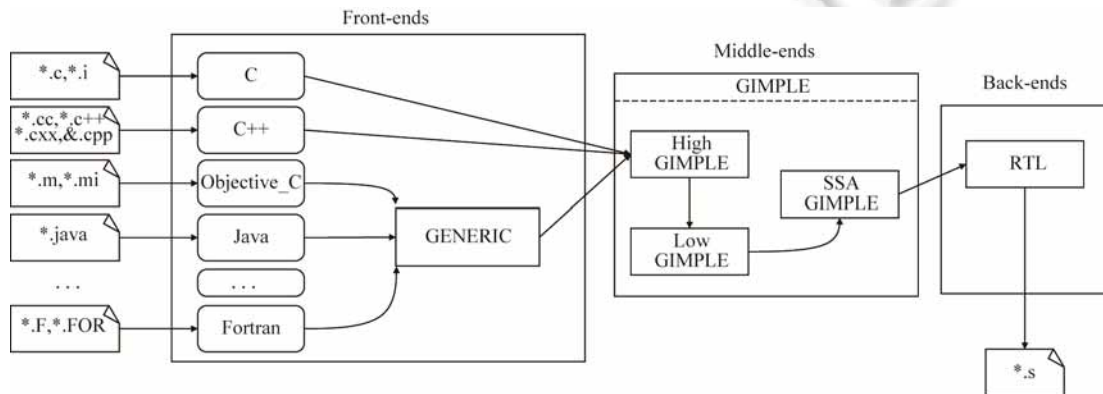


Fig.6 Architecture for GCC

图 6 GCC 编译器结构

3.2 ret 指令目标合法性验证和插桩

根据 ret 指令的 CFI 约束,ret 指令执行后控制流转回 caller.ret 指令使用合法性验证使用 vmcall(1,label)标签指令,该指令位于 call 指令之后,如图 7 所示.

根据图 7,Function A 在入口处激活标签 a,之后调用 Function B,状态机从 S₀ 进入 S₁,执行 vmcall(0,b)指令,激活标签 b.在 ret 指令执行之前,执行指令 vmcall(2,b)取消标签 b 的激活状态.由于 ret 指令可能被攻击者利用,在加入标签指令后,若 ret 指令返回 callq Function B 的下一条指令 vmcall(1,a),则该指令陷入 Hypevisor 后检查标签 a 的激活状态,若其处于激活状态,并且标签存储空间中 a 以下未存在处于激活状态的标签,那么系统运行正常;若 ret 指令返回到其他位置的指令,如 vmcall(1,c),则该指令检查标签 c 的激活状态,由于 c 未被激活,说明没有与之对应的 call 指令,产生异常报告,进入状态 S₄.此外,如果 retq 指令返回的不是某一个 callq 指令的下一条指令,即没有指向 vmcall(1,x)指令,那么为了检测此类非法 retq 指令情况,我们增加了 vmcall(2,x)指令的功能,即定时器功能.该指令在取消标签属性的同时,启动定时器(定时时间为 retq 指令和 vmcall(1,x)指令所需要的 CPU 时钟周期数).那么在定时器时间耗尽后将运行判断是否执行 vmcall(1,x)指令的功能函数.若在给定时间戳下 vmcall(1,x)指令未得到执行,那么判断 retq 指令执行为非法的,产生异常报告;若 vmcall(1,x)得到执行,那么根据 vmcall(1,x)的功能判断 ret 指令执行的合法性.

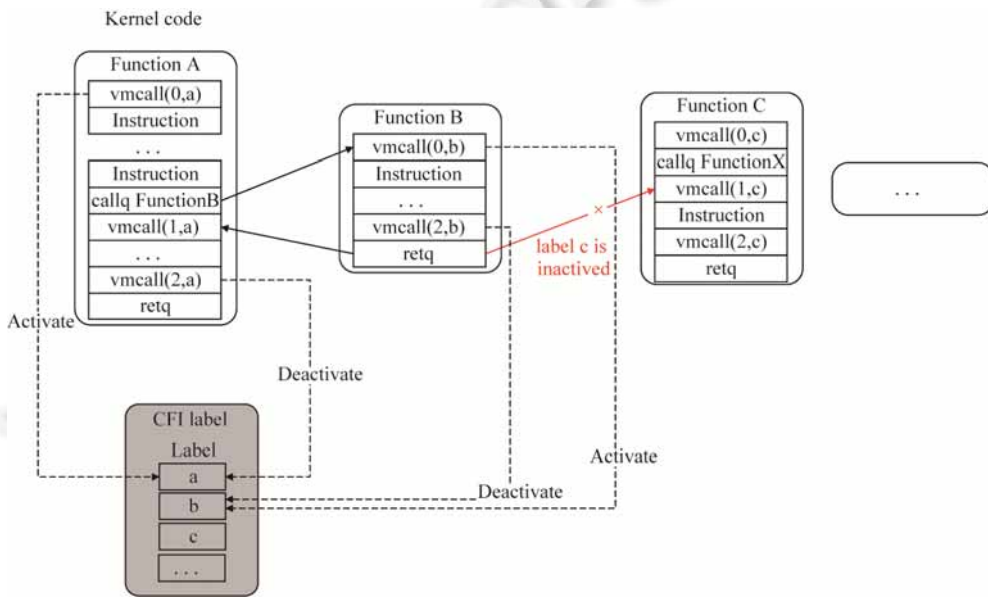


Fig.7 CFI policy for valid function return instruction verification
图 7 基于 CFI 策略的 ret 指令使用合法性验证

因此,ret 插桩需要在 call 指令后插入 vmcall(1,a)标签指令验证 ret 返回位置的正确性,并在 ret 指令之前插入 vmcall(2,b)指令实现标签状态的处理和定时器功能,其中,a,b 为标签编号.

ret 指令插桩与 call 指令插桩的不同之处在于需要在两个不同的位置处插入 nop 指令,分别在 call 指令的后面和 ret 指令的前面插入 nop 指令.我们选择在 gcc 编译转换过程的第 3 个阶段实现 nop 指令的插入.针对每个 CPU 平台,gcc 有对应的 Machine Description 用于指导指令生成.ret 指令插桩是在 call 指令之后和 ret 指令之前插入 nop 指令,故只需修改 call 指令和 ret 指令的 Machine Description 即可实现 nop 指令的插入.对于第 1 个位置处的插桩,当发现 call 指令时,在生成 call 指令汇编代码的同时,在该汇编代码的后面添加 13 个 nop 指令后再进行下一条指令的汇编代码生成;对于第 2 个位置处的插桩,当发现 ret 指令时,在生成 ret 指令汇编代码时,在该汇编代码前添加 13 个 nop 指令.ret 指令插桩第 2 阶段的处理过程与 call 指令类似,但需要确保同一个函数标签

编号的一致性.

3.3 indirect jump 目标合法性验证和插桩

根据 indirect jump 的 CFI 约束, indirect jump 只能跳转到本函数内部或者另外一个函数的入口. 由于 indirect jump 的目标地址在其运行时才确定, 所以为了确定跳转目标的合法性, 我们在 indirect jump 指令之前使用 vmcall(3, address) 指令. 该指令包括两个方面的功能, 一方面验证跳转目标是否处于本函数内, 另一方面验证跳转目标对应的指令是否为 vmcall(0, label) 指令. 若满足两方面中的一个, 则表明 indirect jump 使用合法, 否则, 报告异常, 如图 8 所示.

从图 8 可以看出, vmcall(3, %r10) 指令触发 indirect jump 使用合法性检查, 状态从 S_0 进入 S_3 , 在 S_3 , 该指令判断 indirect jump 的目标地址是否处于自身所在函数内部或者是否是函数入口处. 图 8 中显示, 如果其跳转到 Function B 的入口处则是合法的, 状态从 S_3 回到 S_0 ; 若是跳转到 Function B 的内部, 则是非法的, 进入状态 S_4 , 报告异常状态.

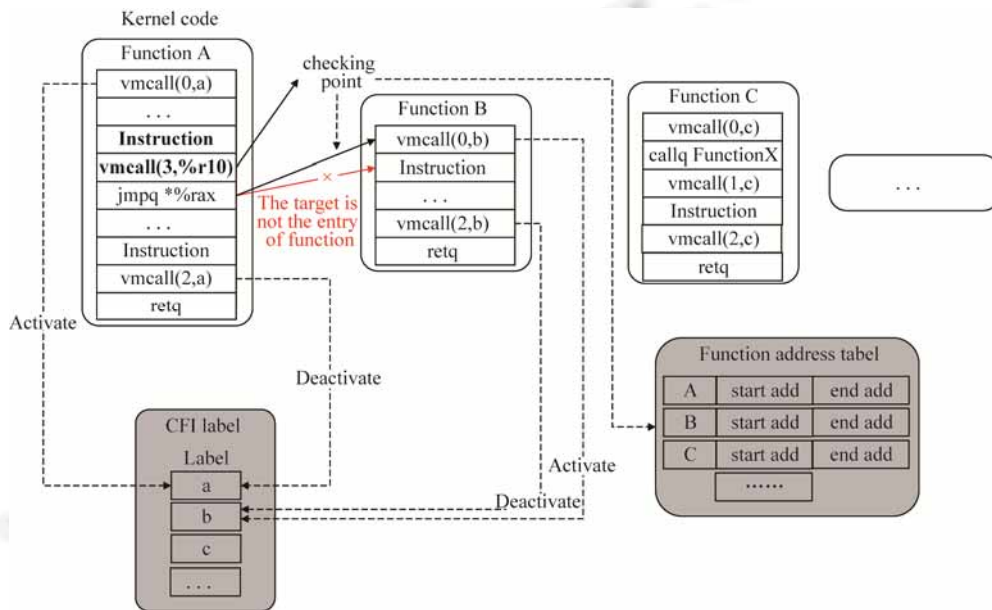


Fig.8 CFI policy for valid indirect jump instruction verification

图 8 基于 CFI 策略的 indirect jump 指令使用合法性验证

由于 vmcall 指令传递参数到 Hypervisor 使用的是寄存器, 并且 indirect jump 指令的操作数也是使用寄存器确定转移目标地址, 所以为避免破坏跳转目标所使用的寄存器, 通过反汇编内核镜像, 分析 indirect jump 指令所使用的寄存器, 最终确定使用 r10 寄存器传递 indirect jump 指令的跳转目标到 Hypervisor 中. 首先将 indirect jump 指令的跳转目标存入 r10 寄存器, 然后将该地址传入 Hypervisor 中进行分析 and 判断. 分析寄存器的同时分析内核各个函数的入口地址和结束地址构建函数地址表, 用于 jump 目标地址合法性判断.

由于不同寻址方式需要添加的指令数不一样, 为了方便统一处理, 我们选择了最复杂的 indirect jump 指令, 即操作数构成最复杂的指令. 例如, jmp *-0x12345678(,%rax,4), 该指令的跳转目标为 $[4*\%rax-0x12345678]$. 计算该跳转目标需要 2 条指令完成, mov %rax,%rsi; mov -0x12345678(,%rsi,4),%r10. 第 1 条指令占用 3 个字节, 第 2 条指令占用 4 个字节. vmcall(3,%r10) 占用 13 个字节, 故总共需要 20 个字节. 对于不满 20 字节的情况, 如 jmp *%rax, 计算目标地址只需 1 条指令, mov %rax,%r10, 加上 vmcall 指令字节数共需 16 字节, 剩余 4 个字节保留为 nop 即可, 而且 nop 指令的填充选择后向填充. indirect jump 指令的插桩过程与 ret 指令类似, 这里不再赘述.

在对 3 类指令进行插桩时存在一些异常情况需要进行特殊处理,主要是以汇编形式或内联汇编存在的内核代码.它们不能采用 gcc 扩展方式实现插桩,需要手工修改这部分代码实现间接转移指令的插桩.譬如 entry_64.S 中的函数 ftrace_caller,首先我们在 ENTRY(ftrace_caller)后增加指令 vmcall(0,x),然后在 END(ftrace_caller)前的 retq 指令之前增加指令 vmcall(2,x),由于该函数内部未包含间接 call 指令和间接 jump 指令,故不需要进行其他处理,其他类似的函数进行类似的修改.那么编译后的内核映像在执行到该函数时就会通过 vmcall 指令陷入 Hypervisor 中进行相应的验证.

4 实验及结果分析

本节从有效性和性能两个方面对 CFI-KCraD 进行测试.有效性测试用于验证 CFI-KCraD 能否实现内核代码复用攻击检测,性能测试用于验证 CFI-KCraD 的效率和开销.实验环境如下:主机 CPU 为 Intel(R) Core(TM) i5-750 @ 2.67GHz,内存大小为 4GB.Hypervisor 采用 Bitvisor^[38],其版本为 1.4.0,Guest OS 采用的是 3.2.43-x86_64 内核的 Ubuntu 12.04.

4.1 有效性测试

为了测试 CFI-KCraD 的有效性,我们选择了文献[6,7,10,12,27,35]实现的 ROP rootkits 作为测试用例,并对其进行修改,使其能够运行于 3.2.43 版本的内核.

文献[27]实现了一种 call-preceded 的 ROP 攻击,可绕过检测 ret 结尾的 gadgets 特征的检测方法.文献[35]实现的是以 ret 指令结尾的 6 个 gadgets 构成的 rootkit,该 rootkit 不实现恶意功能,只是在内存中增加一个字的内容.文献[12]实现的是以 jump 指令结尾的 101 个 gadgets 构成的 rootkit,它实现了进程隐藏.文献[6]面向的是 Windows 系统,实现了以 ret 为结尾的 gadgets 构成的 rootkit,它也实现了进程隐藏.我们对其进行改造使其运行在 Linux 系统.文献[7]提出了一种增强型的代码复用攻击 BIOP,使用 jmp 指令、call 指令结尾的短指令序列构造攻击.文献[10]实现的 rootkit 原理与文献[12]类似,只是实现了不同类型的攻击,它利用 jump 指令结尾的 34 个 gadgets 构成实现系统调用表篡改的 rootkit.测试结果见表 1.表 1 的第 1 列为测试用例名称,第 2 列是测试用例的结构组成,第 3 列表示 CFI-KCraD 能够检测第 1 列所列的测试用例,第 4 列表示测试用例违背何种 CFI 约束规则而被检测.

Table 1 The detection results for ROP rootkits
表 1 ROP rootkits 检测结果

ROP rootkits	构成	检测	违背
文献[27]	23 个 call-preceded 构成的 gadgets	√	call
文献[35]	6 个 ret 结尾的 gadgets	√	ret
文献[12]	101 个 jump 结尾的 gadgets	√	indirect jump
文献[6]	85 个 ret 结尾的 gadgets	√	ret
文献[7]	10 个 gadgets	√	call, indirect jump
文献[10]	34 个 jump 结尾的 gadgets	√	indirect jump

从表 1 可知,CFI-KCraD 能够有效检测这 6 类攻击,这表明本文提出的方法是有效的.

为了进一步验证本文方法的有效性,与目前能够用于内核代码复用攻击检测的工具 HDROP^[30]和文献[20]提出的方法进行对比测试,测试结果见表 2.

根据表 2,CFI-KCraD 能够检测出所有的代码复用攻击,而 HDROP 和文献[20]的方法无法检测文献[7]、文献[12]和文献[10]提出的攻击方法.这是因为,HDROP 通过分支预测异常检测以 ret 结尾的 ROP 攻击,文献[20]则是构建隐秘地址空间存储返回地址,通

Table 2 Comparison of different detection methods
表 2 检测方法对比

ROP rootkits	CFI-KCraD	HDROP	文献[20]的方法
文献[27]	√	×	×
文献[35]	√	√	√
文献[12]	√	×	×
文献[6]	√	√	√
文献[7]	√	×	×
文献[10]	√	×	×

过对比 ret 返回地址与存储的返回地址判断是否有 ROP 攻击,它们都是针对 ret 指令进行监控,所以无法检测文献[12]、文献[10]实现的 JOP 攻击和文献[7]实现的 BIOP 攻击.HDROP 和文献[20]的检测方法也无法检测文献[27]实现的 ROP 攻击,因为在文献[27]的攻击方法中,call 和 ret 指令是成对出现的,并且 ret 返回的是 call 指令的下一条指令,并未违背它们采用的检测特征.而 CFI-KCraD 能够检测到此攻击是因为其在执行 call 指令时并未从函数入口处开始执行,违背了 call 指令的使用规则.

为了检验本文方法的误报率,我们使用了一些常用的应用程序进行对比检测.通过运行表 3 所列举的应用程序 50 次,观察每次运行过程中是否会产生误报,记录产生误报的次数,结果见表 3.

由表 3 可知,没有误报产生,这也进一步验证了本文方法的有效性.

Table 3 Results of false positive test

表 3 误报测试结果

Benchmark	版本	命令	误报次数
decompress	1.0.6	tar -zxf inux-source.tar.bz2	0
compression	1.4	tar -zcf linux-source-dir	0
file copy	8.13	cp -r linux-3.2.43 any	0
kernel build	3.2.43	make	0
unixbench	5.1.2	./Run	0
linux boot	Ubuntu 12.04	linux boot	0

4.2 性能测试

4.2.1 微基准测试

我们采用 lmbench 作为本次实验的微基准测试集.由于 CFI-KCraD 的标签指令分布在内核各个子系统中,

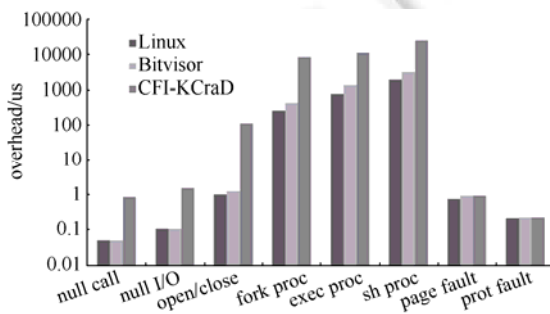


Fig.9 Microbenchmark results of CFI-KCraD

图 9 CFI-KCraD 微基准测试结果

如文件系统、进程管理等,为了充分测试 CFI-KCraD 的性能开销,我们从 lmbench 选择了与系统调用相关、I/O 读写相关等测试项作为基准测试指标.通过分别测试 CFI-KCraD、Bitvisor、裸机三者下的性能开销,并通过对比来分析 CFI-KCraD 所引入的性能开销,测试结果如图 9 所示.

其中,由于不同程序测试的性能开销数据差距较大,故我们对测试数据(纵坐标)进行对数化(基数为 10)处理.根据图 9 的数据可知,Null Call 操作测试取进程号所需时间,Null I/O 操作测试空读写的平均时间,Bitvisor 未对它们进行监控,直接由处理器处理,未带来任何开销,而 CFI-KCraD 在它们执行时因进行系统调用而陷入 Hypervisor 一次,故带来的开销较小;而 open/close 操作是先打开文档后再关闭文档,这一过程中需要调用系统调用以及内存映射等操作,在这些操作发生时陷入 Hypervisor 中,CPU 切换次数增多,故 CFI-KCraD 较 Linux 和 Bitvisor 带来了额外开销.同时,CFI-KCraD 在 fork proc、exec proc 和 sh proc 这 3 项测试指标下的性能远大于其他指标,并且开销比 Bitvisor 大很多.这是因为,这 3 项指标的测试过程涉及到进程管理、文件管理、内存管理等,需要陷入陷出 Hypervisor 多次.prot fault 指的是保护异常带来的开销,CFI-KCraD 和 Bitvisor 一样只是捕获该操作,捕获之后将该操作的处理返还给操作系统内核,故开销较小;page fault 指的是缺页异常带来的开销,由于 CFI-KCraD 并未对其作额外的处理,故与 Bitvisor 的开销差不多.

4.2.2 应用程序基准测试

为了进一步评测 CFI-KCraD 的性能,我们选择与表 3 相同的应用程序基准测试集测试 CFI-KCraD 的性能开销.测试结果如图 10 所示.

由于 kernel build(内核编译)和 Unixbench 是综合性应用,既需要 CPU 时间,也需要大量的 I/O 操作,测试过

程中大量使用系统资源,如文件系统、管道和进程等,需要频繁访问磁盘和内存,这些行为调用了内核服务,如系统调用和进程切换等,而 CFI-KCraD 在系统调用处理函数、进程相关函数等入口出口位置因标签指令陷入 Hypervisor 中进行验证,故带来了较大的性能开销.对于 decompress(解压缩)和 compression(压缩)程序,分别引入了 11%和 8%的性能开销,它们属于计算密集型应用,而 CFI-KCraD 基于 Bitvisor 开发,使用了硬件虚拟化技术,计算指令可直接由物理 CPU 运行,故相对内核编译和 Unixbench 开销较小.file copy(文件复制)是 I/O 密集型作业,其中包含大量的读写操作,由于 CFI-KCraD 对读写系统调用函数被调用时陷入 Hypervisor,因此导致了一定的性能开销(41%).Linux boot 可全面测试 CFI-KCraD 的性能,因为系统启动过程中运行大量的应用程序、库并执行系统调用,该项测试引入的开销为 33%.综上测试,CFI-KCraD 的性能开销不超过 60%,虽然开销比 HDROP 的 19%和文献[20]的 10%要高,但 CFI-KCraD 的检出率明显高于其他内核级代码复用攻击检测工具.

由于采用了重编译方法在内核中插入了 nop 指令,使得内核的代码分布发生了变化,内核映像的大小也发生了变化,最终内核映像大小增长约 6%.

5 结 论

本文提出了一种基于细粒度 CFI 的内核级代码复用攻击检测方法 CFI-KCraD.该方法基于 CFI 约束规则和状态机模型给出了检测方法的基本思路;根据内核级代码复用攻击误用的间接转移指令类型分别采取不同的验证方法,在编译器辅助下实现 CFI 标签指令的插桩;同时引入 Hypervisor 实现 CFI 策略的验证和分析,一方面使用 Hypervisor 提供的指令 vmcall 作为 CFI 标签指令,不需要增添额外的监控指令,另一方面将检测程序放置于 Hypervisor 中,提高了检测方法的安全性.通过对 CFI-KCraD 的有效性和性能进行测试,测试结果表明,CFI-KCraD 能够有效地检测内核级代码复用攻击,并且引入的性能开销在一个可接受的范围内.目前,插桩过程中未考虑可加载内核模块(loadable kernel module,简称 LKM),而它们的代码也是内核级代码复用攻击利用的对象,下一步研究拟将分析对象扩展到 LKM,在此过程中可能需要解决 LKM 的动态加载位置确定问题.

致谢 在此,向对本文研究工作提供基金支持的单位和评阅本文的审稿专家表示衷心的感谢,向为本文研究工作提供基础和平台的前辈致敬.

References:

- [1] Andersen S, Abella V. Data execution prevention, changes to functionality in Microsoft Windows XP Service Pack 2, Part 3: memory protection technologies. 2015. <https://technet.microsoft.com/en-us/library/bb457155.aspx>
- [2] Cowan C, Pu C, Maier D, Hintony H, Walpole J, Bakke P, Beattie S, Grier A, Wagle P, Zhang Q. StackGuard: Automatic adaptive detection and prevention of buffer-overflow attacks. In: Proc. of the 7th USENIX Security Symp. Berkeley: Usenix Association, 1998. 63–78. <https://www.usenix.org/legacy/publications/library/proceedings/sec98/>
- [3] Tran M, Etheridge M, Bletsch T, Jiang XX, Freeh V, Ning P. On the expressiveness of return-into-libc attacks. In: Proc. of the 14th Int'l Conf. on Recent Advances in Intrusion Detection. Cambridge: Springer-Verlag, 2011. 121–141. [doi: 10.1007/978-3-642-23644-0_7]
- [4] Shacham H. The geometry of innocent flesh on the bone: Return-Into-Libc without function calls (on the x86). In: Proc. of the 14th ACM Conf. on Computer and Communications Security. New York: ACM Press, 2007. 552–561. [doi: 10.1145/1315245.1315313]
- [5] Buchanan E, Roemer R, Shacham H, Savage S. When good instructions go bad: Generalizing return-oriented programming to RISC. In: Proc. of the 15th ACM Conf. on Computer and Communications Security. New York: ACM Press, 2008. 27–38. [doi: 10.1145/1455770.1455776]

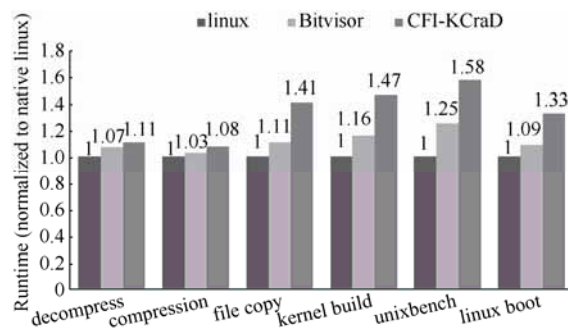


Fig.10 Application benchmark performance test results
图 10 应用基准程序性能测试结果

- [6] Hund R, Holz T, Freiling FC. Return-Oriented Rootkits: Bypassing kernel code integrity protection mechanisms. In: Proc. of the 18th USENIX Security Symp. Berkeley: Usenix Association, 2009. 383–398. <https://www.usenix.org/legacy/publications/library/proceedings/sec98/>
- [7] Xing X, Chen P, Ding WB, Mao B, Xie L. BIOP: Automatic construction of enhanced ROP attack. Chinese Journal of Computers, 2014,37(5):1111–1123 (in Chinese with English abstract). [doi: 10.3724/SP.J.1016.2014.01111]
- [8] Checkoway S, Davi L, Dmitrienko A, Sadeghi AR, Shacham H, Winandy M. Return-Oriented programming without returns. In: Proc. of the 17th ACM Conf. on Computer and Communications Security. New York: ACM Press, 2010. 559–572. [doi: 10.1145/1866307.1866370]
- [9] Bletsch T, Jiang X, Freeh VW, Liang Z. Jump-Oriented programming: A new class of code-reuse attack. In: Proc. of the 6th ACM Symp. on Information, Computer and Communications Security. New York: ACM Press, 2011. 30–40. [doi: 10.1145/1966913.1966919]
- [10] Li ZY, Mao B, Xie L. Construction method of Rootkit based on JOP. Computer Science, 2011,38(10A):44–49 (in Chinese with English abstract).
- [11] Bosman E, Bos H. Framing signals—A return to portable exploits. In: Proc. of the 35th IEEE Symp. on Security and Privacy. Washington: IEEE CS Press, 2014. 243–258. [doi: 10.1109/SP.2014.23]
- [12] Chen P. Research on the attack and defense techniques of code reuse [Ph.D. Thesis]. Nanjing University, 2012 (in Chinese with English abstract).
- [13] PaX Team. Address space layout randomization (ASLR). 2015. <http://pax.grsecurity.net/docs/aslr.txt>
- [14] Shacham H, Page M, Pfaff B, Goh EJ, Modadugu N, Boneh D. On the effectiveness of address-space randomization. In: Proc. of the 11th ACM Conf on Computer and Communications Security. New York: ACM Press, 2004. 298–307. [doi: 10.1145/1030083.1030124]
- [15] Seibert J, Okhravi H, Söderström E. Information leaks without memory disclosures: Remote side channel attacks on diversified code. In: Proc. of the 21st ACM SIGSAC Conf. on Computer and Communications Security. New York: ACM Press, 2014. 54–65. [doi: 10.1145/2660267.2660309]
- [16] Pappas V, Polychronakis M, Keromytis AD. Smashing the gadgets: Hindering return-oriented programming using in-place code randomization. In: Proc. of the 33rd IEEE Symp. on Security and Privacy. Washington: IEEE CS Press, 2012. 601–615. [doi: 10.1109/SP.2012.41]
- [17] Snow KZ, Monroe F, Davi L, Dmitrienko A, Lieben C, Sadeghi AR. Just-in-Time code reuse: On the effectiveness of fine-grained address space layout randomization. In: Proc. of the 34th IEEE Symp. on Security and Privacy. Washington: IEEE CS Press, 2013. 574–588. [doi: 10.1109/SP.2013.45]
- [18] Bletsch T, Jiang X, Freeh V. Mitigating code-reuse attacks with control-flow locking. In: Proc. of the 27th Annual Computer Security Applications Conf. New York: ACM Press, 2011. 353–362. [doi: 10.1145/2076732.2076783]
- [19] Li J, Wang Z, Jiang X, Grace M, Bahram S. Defeating return-oriented rootkits with return-less kernels. In: Proc. of the 5th European Conf. on Computer systems. New York: ACM Press, 2010. 195–208. [doi:10.1145/1755913.1755934]
- [20] Tian S, He YP, Ding BZ. Prevent kernel return-oriented programming attacks using hardware virtualization. In: Proc. of the 8th Int'l Conf. on Information Security Practice and Experience. Cambridge: Springer-Verlag, 2012. 289–300. [doi: 10.1007/978-3-642-29101-2_20]
- [21] Onarlioglu K, Bilge L, Lanzi A, Balzarotti D, Kirda E. G-Free: Defeating return-oriented programming through gadget-less binaries. In: Proc. of the 26th Annual Computer Security Applications Conf. New York: ACM Press, 2010. 49–58. [doi: 10.1145/1920261.1920269]
- [22] Davi L, Sadeghi A R, Winandy M. ROPdefender: A detection tool to defend against return-oriented programming attacks. In: Proc. of the 6th ACM Symp. on Information, Computer and Communications Security. New York: ACM Press, 2011. 40–51. [doi: 10.1145/1966913.1966920]
- [23] Chen P, Xiao H, Shen X, Yin X, Mao B, Xie L. DROP: Detecting return-oriented programming malicious code. In: Proc. of the 5th Int'l Conf. on Information Systems Security Information Systems Security. Cambridge: Springer-Verlag, 2009. 163–177. [doi :10.1007/978-3-642-10772-6_13]
- [24] Fratric I. Runtime prevention of return-oriented programming attacks. 2015. <https://github.com/ivanfratric/ropguard>
- [25] Pappas V, Polychronakis M, Keromytis AD. Transparent ROP exploit mitigation using indirect branch tracing. In: Proc. of the 22nd USENIX Security Symp. Berkeley: Usenix Association, 2013. 447–462.
- [26] Cheng Y, Zhou Z, Yu M, Ding X, Deng RH. ROPecker: A generic and practical approach for defending against ROP attacks. In: Proc. of the 21st Network and Distributed System Security (NDSS) Symp. San Diego: The Internet Society, 2014. 1–14. <http://www.internetsociety.org/events/ndss-symposium-2014>

- [27] Carlini N, Wagner D. Rop is still dangerous: Breaking modern defenses. In: Proc. of the 23rd USENIX Security Symp. Berkeley: Usenix, 2014. 385–399. <https://www.usenix.org/conference/usenixsecurity14/>
- [28] Göktaş E, Athanasopoulos E, Polychronakis M, Bos H, Portokalidis G. Size does matter: Why using gadget-chain length to prevent code-reuse attacks is hard. In: Proc. of the 23rd USENIX Security Symp. Berkeley: Usenix Association, 2014. 417–432. <https://www.usenix.org/conference/usenixsecurity14/>
- [29] Davi L, Sadeghi A.R, Lehmann D, Monroe F. Stitching the gadgets: On the ineffectiveness of coarse-grained control-flow integrity protection. In: Proc. of the 23rd USENIX Security Symp. Berkeley: Usenix Association, 2014. 401–416. <https://www.usenix.org/conference/usenixsecurity14/>
- [30] Goktas E, Athanasopoulos E, Bos H, Portokalidis G. Out of control: Overcoming control-flow integrity. In: Proc. of the 35th IEEE Symp. on Security and Privacy. Washington: IEEE CS Press, 2014. 575–589. [doi: 10.1109/SP.2014.43]
- [31] Criswell J, Dautenhahn N, Adve V. KCoFI: Complete control-flow integrity for commodity operating system kernels. In: Proc. of the 35th IEEE Symp. on Security and Privacy. Washington: IEEE CS Press, 2014. 14–29. [doi: 10.1109/SP.2014.26]
- [32] Kayaalp M, Schmitt T, Nomani J, Ponomarev DV, Ghazaleh NA. Signature-Based protection from code reuse attacks. IEEE Trans. on Computers, 2015,64(2):533–546. [doi: 10.1109/TC.2013.230]
- [33] Davi L, Koeberl P, Sadeghi AR. Hardware-Assisted fine-grained control-flow integrity: Towards efficient protection of embedded systems against software exploitation. In: Proc. of the 51st Annual Design Automation Conf. on Design Automation Conf. New York: ACM Press, 2014. 1–6. [doi: 10.1145/2593069.2596656]
- [34] Lucas DM, Hanreich DP, Sadeghi AR, Koeberl P, Sullivan D, Arias O, Jin Y. HAFIX: Hardware-Assisted flow integrity extension. In: Proc. of the 52nd Annual Design Automation Conf. on Design Automation Conf. New York: ACM Press, 2015. [doi: 10.1145/2744769.2744847]
- [35] Zhou HW, Wu X, Shi WC, Yuan JH, Liang B. HDROP: Detecting ROP attacks using performance monitoring counters. In: Proc. of the Int'l Conf. on Information Security Practice and Experience. Cambridge: Springer Int'l Publishing, 2014. 172–186. [doi: 10.1007/978-3-319-06320-1_14]
- [36] Kim J, Eom YI. Fast and space-efficient defense against jump-oriented programming attacks. In: Proc. of the 2015 Int'l Conf. on Big Data and Smart Computing. Washington: IEEE, 2015. 7–10. [doi: 10.1109/35021BIGCOMP.2015.7072839]
- [37] Guide P. Intel® 64 and IA-32 architectures software developer's manual. 2015. <http://www.intel.com/content/dam/www/public/us/en/documents/manuals/64-ia-32-architectures-software-developer-instruction-set-reference-manual-325462.pdf>
- [38] Shinagawa T, Eiraku H, Tanimoto K, Omote K, Hasegawa S, Horie T, Hirano M, Kourai K, Oyama Y, Kawai E, Kono K, Chiba S, Shinjo Y, Kato K. Bitvisor: A thin hypervisor for enforcing I/O device security. In: Proc. of the 2009 ACM SIGPLAN/SIGOPS Int'l Conf. on Virtual Execution Environments. New York: ACM Press, 2009. 121–130. [doi: 10.1145/1508293.1508311]

附中文参考文献:

- [7] 邢骁,陈平,丁文彪,茅兵,谢立. BIOP:自动构造增强型 ROP 攻击. 计算机学报, 2014, 37(5):1111–1123. [doi: 10.3724/SP.J.1016.2014.01111]
- [10] 李正玉,茅兵,谢立. 一种基于 JOP 的 rootkit 构造方法. 计算机科学, 2011, 38(10A):44–49.
- [12] 陈平. 代码复用攻击与防御技术研究[博士学位论文]. 南京: 南京大学, 2012.



陈志锋(1986 -),男,福建漳州人,博士,讲师,主要研究领域为信息安全,可信计算.



李清宝(1967 -),男,博士,教授,博士生导师,CCF 高级会员,主要研究领域为信息安全,可信计算.



张平(1969 -),女,博士,副教授,CCF 专业会员,主要研究领域为并行识别,并行编译,信息安全.



王焯(1993 -),男,硕士,主要研究领域为网络信息安全.